

ZnO 계 세라믹 바리스터의 비오음성과 열자격 전류

○
장 경 육 ○ 이 상 석
광운대학원 석사과정, 광운대학원 박사과정, 광운대학 이공학부 교수

(Thermally Stimulated Current and Nonohmic Properties
of the Ceramic Varistors based on Zinc Oxide)

K. U. Jang[○] S. S. Lee
Dep. of Electric Eng. Kwang Woon Gradu.

J. U. Lee
Dep. of Electric Eng. Kwang Woon Univ.

1. 서 론

최근 급격한 전자기술의 발전에 따라 반도체의 이용은 일진일보, 많은 분야에 적용되고 있으며, 특히 반도체 소자는 surge로부터 보호하는 층면에서 많은 연구가 진행되고 있음을 주지의 사실이다. Surge 흡수용 소자는 Zener Diode, SiC Varistor 등이 이용되어 왔으나, Zener Diode는 surge에 약하고 내압이 높지 않은 결점이 있고, SiC Varistor는 전압-전류 특성에서 비직선계수가 크지 않고 제한 전류가 높지 않아 과전압으로부터의 보호라는 목적에 충분히 부합하지 못한다. 따라서, 최근에는 비직선계수가 크고, Zener Diode에 비해 내압 (Breakdown voltage)도 둔 ZnO-계 Ceramic Varistor에 주목하게 되었다. ZnO-계 Ceramic Varistor의 발달과정은 1967년에 ZnO 소결체에서 비오음성을 발견했고, 1968년에 ZnO 세라믹 바리스터를 개발했고, 1970년대초 일본의 Matsuoka에 의하여 산화아연을 주성분으로 한 ZnO-계 Ceramic Varistor가 세계 최초로 개발되었다.

본 논문에서는 ZnO-계 Ceramic Varistor의 Breakdown 전압을 측정할 목적으로 TiO_2 를 첨가하여 측정한 V-I 특성과 온도 범위 $-160 [^{\circ}C] - 200 [^{\circ}C]$ 사이에서 형성전압 $10 [kv/m]$ 를 5분 동안 형성시킨 Ceramic Electret로 부터 관측한 3개의 TSC Spectrum의 특성을 소개한다.

2. 실험

2.1. 시편 제작

본 실험에서 사용된 시편은 그림 1과 같이 ZnO Ceramic의 조성은 ZnO , Sb_2O_3 , Bi_2O_3 , CoO , MnO_2 를 기본시약으로 ZnO grain size를 제어할 목적으로 TiO_2 를 1 mol%, 2 mol%, 3 mol%, 4 mol% 혼합하여 일반 Ceramic 제조공정에 따라 제작하였다. 제작된 시편은 연마(polishing) 과정을 거쳐 두께 $0.65 [mm]$ 에 온전극(지름 16 [mm])을 부착하였다.

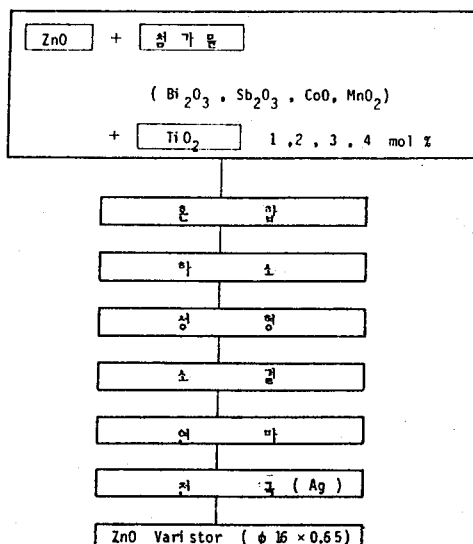


Fig. 1 Sample preparation procedure.

2.2. 실험 방법

2.2.1. 전압-전류 측정

전압-전류 측정 장치의 Block-Diagram은 그림 2와 같으며 그 구성은 Power Supply (TPS-55), X-Y Recorder (Yew 3033) 및 Digital Electrometer (Keithley 616)로 되어 있다.

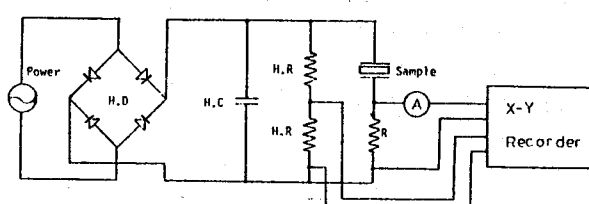


Fig. 2 Block diagram of the measuring device for V-I characteristics

2.2.2. TSC 측정

본 실험에서 사용된 TSC 실험 장치의 물리적 설계는 그림 3과 같다. 항온조 및 온도 조절 장치는 TOYO SEIKI (Japan) 사제품이고, 전위계는 KIKUSEI Electronics Co. Model PAB (Japan), 그리고 기록기는 J.J. C R 503 Recorder(England) 를 사용하였다.

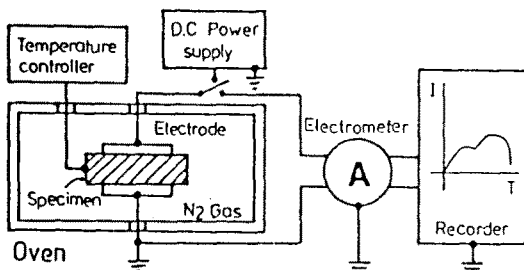


Fig. 3 Block diagram of TSC apparatus

3. 실험 결과

3.1. 전압-전류 특성

제작된 ZnO Varistor 의 전압-전류 특성의 실험 결과는 그림 4와 같다. 이 그림에서 보면 알 수 있는 바와 같이 TiO_2 를 첨가한 경우 첨가하지 않은 순수시 펜트보다 Breakdown 전압이 낮아짐을 알 수 있다. 또한, TiO_2 를 첨가한 경우 mol% 가 증가함에 따라 Breakdown 전압은 낮아지는데 이 사실은 이미 보고 되어 있는 연구 결과와 잘 일치한다. 또, 관측된 V-I 특성으로 부터 비직선계수는 TiO_2 mol% 가 증가(1~4 mol%)하면 감소하는 것이 확인된다.

3.2. TSC Spectra

그림 5는 형성온도 100[°C] 형성전계 10[kV/m] 를 5분 동안 인가하여 온도범위 -160[°C] ~ 200[°C] 사이에서 관측한 TSC Spectrum 인데 120[°C], 23[°C] 및 -100[°C] 부근에서 3개의 TSC Spectra 를 얻었는데 편의상 이를 Spectra 를 고온에서부터 저온으로 α , β 및 γ Spectrum 이라 명명하였다. 그림에서 보면 알 수 있는 바와 같이 mol%를 증가시키면 α , β 및 γ 피크의 진폭은 감소하며 또 각 피크의 I_m 이 나타나는 T_m 는 저온측으로 이동함을 알 수 있다.

4. 결론

ZnO-계에 TiO_2 를 첨가하여 제작한

Ceramic Varistor로부터 관측한 전압-전류 특성과 TSC Spectra 결과로부터

1) 관측된 V-I 특성으로부터 TiO_2 의 mol%를 증가시키면 Breakdown 전압이 점점 낮아짐을 확인하였다.

2) V-I 특성곡선에서는 같은 전계에서 TiO_2 의 mol%를 감소시키면 전류의 크기는 감소하는데, 이 사실을 동일 전계내에서는 캐리어 밀도가 트랩으로 감소하기 때문으로 사료된다.

3) TiO_2 를 3mol%첨가한 ZnO계 세라믹 바리스터의 α , β 및 γ Spectra에서 초기상승법으로 얻은 활성화 에너지는 각각 0.47, 0.37 및 0.02[eV]를 각각 얻었다.

4) 120[°C] 부근의 고온측에서 나타나는 α 피크의 기원은 ZnO grain 의 surface state 에 Trap되어 있던 캐리어들이 detrap 되어, 23[°C] 와 -100[°C] 부근에서 나타나는 β 및 γ 피크는 ZnO grain 사이의 Depletion layer 에 Trap되어 있던 캐리어의 기여로 나타나는 것으로 사료된다.

5) TSC Peak 중 α , β 및 γ Spectra의 진폭은 TiO_2 의 mol%를 증가시키면 감소하면서 T_m 는 저온측으로 이동하는데 이는 TiO_2 의 mol%를 증가시키면 ZnO grain 이 성장되기 때문으로 사료된다.

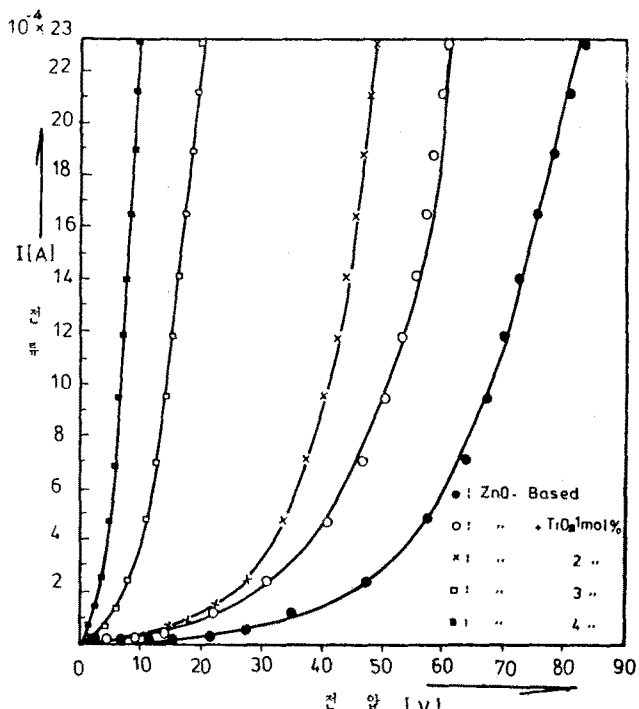


Fig. 4 Voltage-current characteristics of ZnO ceramics

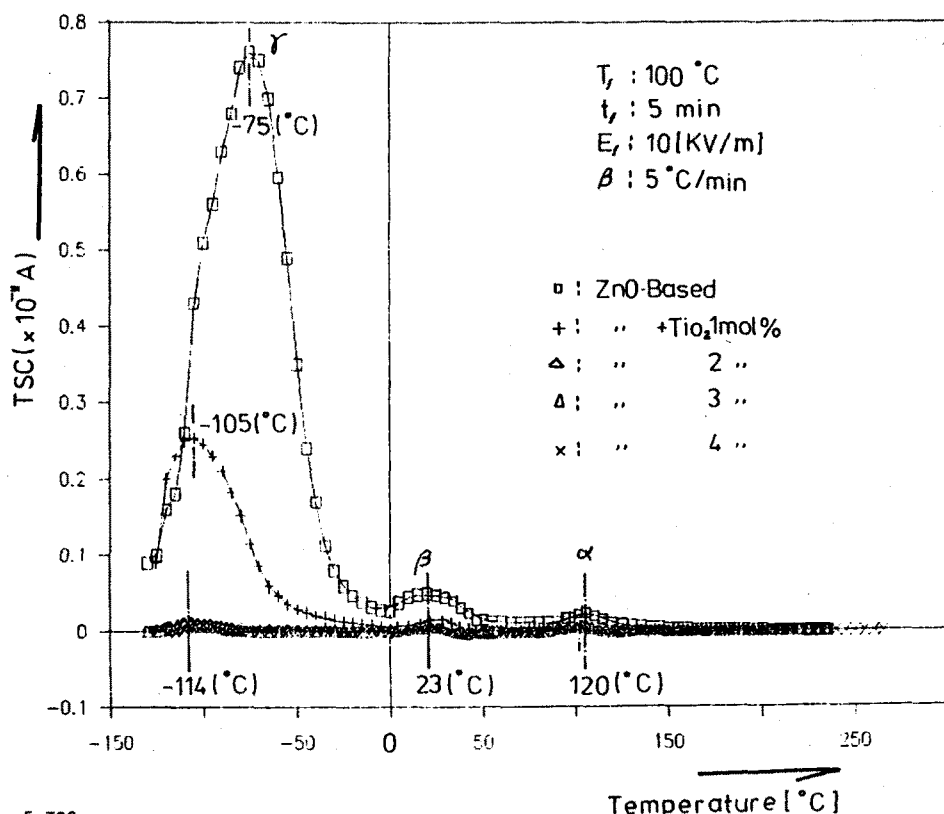


Fig.5 TSC spectra of ZnO ceramic varistor

REFERENCES

1. M. Matsuoka ; "Nonohmic properties of Zinc Oxide Ceramics" Jpn. J. Appl. Phys., Vol. 10. 736 (1971)
2. Lionel M. et al ; "The physics of metal oxide varistors" J. Appl. phys., Vol. 46. 1332 (1975)
3. G. D. Mahan. et al ; "Theory of conduction in ZnO varistors". , J. Appl.phys. , Vol. 50, 2799 (1979)
4. William G. Morris ; "Physical properties of the electrical barriers in varistors" , J.Vac. Sci. Technol. , Vol.13, 926 (1976)
5. H. R. Philipp. et al ; "Low-tempperrature electrical studies on metal-oxide varistors-- A cluetto conduction mechanisms" J. Appl. Phys., Vol. 48, 1621 (1977)